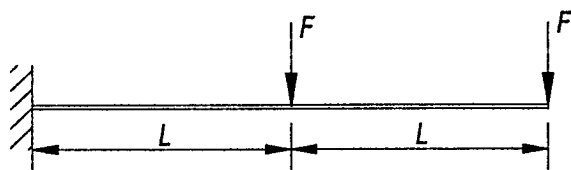


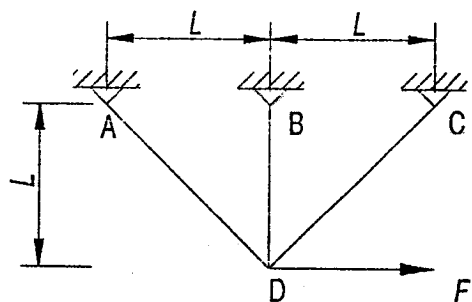
23591 ELEMENTTIMENETELMÄN PERUSTEET

Tentti 11.3.2002

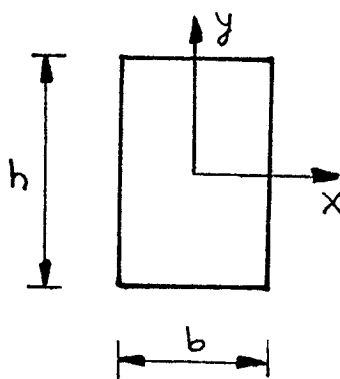
Kirjallisuuden ja muistiinpanojen esilläpito ei ole sallittua. Jokaiseen vastauspaperiin on kirjoitettava nimi, nimenselvennös, opiskelijanumero, osasto ja vuosikurssi.



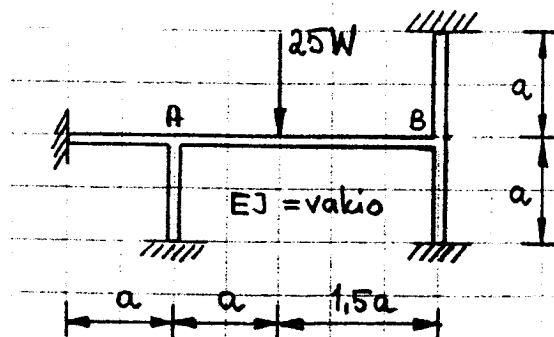
- Laske Rayleigh-Ritzin menetelmällä kuvassa olevan palkin vapaan pään taipuma. Käytä kahta kinemaattisesti käypää kantafunktioita. Tutki, toteutuvatko palkin päiden reunaehdot. Piirrä palkin vapaakappalekuva ja katso siitä, onko palkki tasapainossa. Tehtävässä EI on vakio.



- Kuvan ristikön niveleen D vaikuttaa vaaka-suuntainen voima $F = 5 \text{ kN}$. Ristikön kaikilla sauvilla on sama poikkipinta-ala $A = 100 \text{ mm}^2$ ja ne ovat terästä, jonka $E = 207 \text{ GPa}$ ja $\alpha = 12 \mu/\text{ }^\circ\text{C}$. Laske nivelen D siirtymät ja sauvassa BD oleva normaalijännitys, kun pituusmitta $L = 1 \text{ m}$.



- Esitä oheisen suorakulmion Jacobin matriisi ja laske Gaussin numeerisella integroinnilla
 - pinta-ala $A = \int \int dA$
 - neliömomentti $I_x = \int \int y^2 dA$.



- Oheisen tasokehän palkit oletetaan venymättömiksi. Ratkaise kehän statiikka elementtimenetelmällä käyttäen vapausasteina nurkkien kiertymiä. Piirrä lisäksi kehän taivutusmomentijakautuma.

$$\frac{\partial \sigma_x}{\partial x} + \frac{\partial \tau_{xy}}{\partial y} + \frac{\partial \tau_{xz}}{\partial z} + f_x = 0$$

$$\frac{\partial \tau_{xy}}{\partial x} + \frac{\partial \sigma_y}{\partial y} + \frac{\partial \tau_{yz}}{\partial z} + f_y = 0$$

$$\frac{\partial \tau_{xz}}{\partial x} + \frac{\partial \tau_{yz}}{\partial y} + \frac{\partial \sigma_z}{\partial z} + f_z = 0$$

$$\sigma_x n_x + \tau_{xy} n_y + \tau_{xz} n_z = T_x$$

$$\tau_{xy} n_x + \sigma_y n_y + \tau_{yz} n_z = T_y$$

$$\tau_{xz} n_x + \tau_{yz} n_y + \sigma_z n_z = T_z$$

$$\epsilon = \left[\frac{\partial u}{\partial x}, \frac{\partial v}{\partial y}, \frac{\partial w}{\partial z}, \frac{\partial u}{\partial z}, \frac{\partial w}{\partial y}, \frac{\partial u}{\partial x}, \frac{\partial w}{\partial x}, \frac{\partial u}{\partial y} \right]^T$$

$$\epsilon_x = \frac{\sigma_x}{E} - \nu \frac{\sigma_y}{E} - \nu \frac{\sigma_z}{E}$$

$$G = \frac{E}{2(1+\nu)}$$

$$\epsilon_y = -\nu \frac{\sigma_x}{E} + \frac{\sigma_y}{E} - \nu \frac{\sigma_z}{E}$$

$$\epsilon_z = -\nu \frac{\sigma_x}{E} - \nu \frac{\sigma_y}{E} + \frac{\sigma_z}{E}$$

$$\gamma_{yz} = \frac{\tau_{yz}}{G}$$

$$\sigma = D(\epsilon - \epsilon_0)$$

$$D = \frac{E}{(1+\nu)(1-2\nu)} \begin{bmatrix} 1-\nu & \nu & \nu & 0 & 0 & 0 \\ \nu & 1-\nu & \nu & 0 & 0 & 0 \\ \nu & \nu & 1-\nu & 0 & 0 & 0 \\ 0 & 0 & 0 & 0.5-\nu & 0 & 0 \\ 0 & 0 & 0 & 0 & 0.5-\nu & 0 \\ 0 & 0 & 0 & 0 & 0 & 0.5-\nu \end{bmatrix}$$

$$\gamma_{xz} = \frac{\tau_{xz}}{G}$$

$$\gamma_{xy} = \frac{\tau_{xy}}{G}$$

$$\sigma = D\epsilon$$

$$U = \frac{1}{2} \int_V \sigma^T \epsilon dV \quad \epsilon_0 = [\alpha \Delta T, \alpha \Delta T, \alpha \Delta T, 0, 0, 0]^T$$

$$\int_V \sigma^T \epsilon(\phi) dV - \int_V \phi^T f dV - \int_S \phi^T T dS - \sum_i \phi^T P_i = 0$$

$$\xi = \frac{2}{x_2 - x_1} (x - x_1) - 1$$

$$N_1(\xi) = \frac{1 - \xi}{2}$$

$$k^* = \frac{E_e A_e}{\ell_e} \begin{bmatrix} 1 & -1 \\ -1 & 1 \end{bmatrix}$$

$$f^* = \frac{A_e \ell_e f}{2} \begin{bmatrix} 1 \\ 1 \end{bmatrix}$$

$$T^* = \frac{T \ell_e}{2} \begin{bmatrix} 1 \\ 1 \end{bmatrix}$$

$$\Theta^* = \frac{E_e A_e \ell_e \alpha \Delta T}{x_2 - x_1} \begin{bmatrix} -1 \\ 1 \end{bmatrix}$$

$$N_2(\xi) = \frac{1 + \xi}{2}$$

$$k = \frac{E_e A_e}{\ell_e} \begin{bmatrix} \ell^2 & \ell m & -\ell^2 & -\ell m & -\ell n \\ \ell m & m^2 & -\ell m & -m^2 & -mn \\ -\ell^2 & -\ell m & \ell^2 & \ell m & \ell n \\ -\ell m & -m^2 & \ell m & m^2 & mn \end{bmatrix}$$

$$\sigma = \frac{E_e}{\ell_e} [-\ell \quad -m \quad \ell \quad m] q$$

$$U_e = \frac{1}{2} q^T k q$$

$$k = \frac{E_e A_e}{\ell_e} \begin{bmatrix} \ell^2 & \ell m & \ell n & -\ell^2 & -\ell m & -\ell n \\ \ell m & m^2 & mn & -\ell m & -m^2 & -mn \\ \ell n & mn & n^2 & -\ell n & -mn & -n^2 \\ -\ell^2 & -\ell m & -\ell n & \ell^2 & \ell m & \ell n \\ -\ell m & -m^2 & -mn & \ell m & m^2 & mn \\ -\ell n & -mn & -n^2 & \ell n & mn & n^2 \end{bmatrix}$$

$$\ell_e = \frac{x_2 - x_1}{\ell_e}$$

$$m = \frac{y_2 - y_1}{\ell_e}$$

$$n = \frac{z_2 - z_1}{\ell_e}$$

$$\ell_e = \sqrt{(x_2 - x_1)^2 + (y_2 - y_1)^2 + (z_2 - z_1)^2}$$

$$B = \frac{1}{\det J} \begin{bmatrix} y_{23} & 0 & y_{31} & 0 & y_{12} & 0 \\ 0 & x_{32} & 0 & x_{13} & 0 & x_{21} \\ x_{32} & y_{23} & x_{13} & y_{31} & x_{21} & y_{12} \end{bmatrix} \quad dx dy = \det J d\xi d\eta$$

$$k^e = t_e A_e B^T D B$$

$$k^e = t_e \int_{-1}^1 \int_{-1}^1 B^T D B \det J d\xi d\eta$$

$$k^e = \frac{EI}{l_e^3} \begin{bmatrix} 12 & 6\ell_e & -12 & 6\ell_e \\ 6\ell_e & 4\ell_e^2 & -6\ell_e & 2\ell_e^2 \\ -12 & -6\ell_e & 12 & -6\ell_e \\ 6\ell_e & 2\ell_e^2 & -6\ell_e & 4\ell_e^2 \end{bmatrix}$$

$$\int_{-1}^1 f(\xi) d\xi \approx \sum_{i=1}^n w_i f(\xi_i)$$

| Number of points, n | Location, ξ_i | Weights, w_i |
|-----------------------|--|--|
| 1 | 0.0 | 2.0 |
| 2 | $\pm 1/\sqrt{3} = \pm 0.5773502692$ | 1.0 |
| 3 | ± 0.7745966692 0.0 | 0.5555555556 0.8888888889 |
| 4 | ± 0.8611363116 ± 0.3399810436 | 0.3478548451 0.6521451549 |
| 5 | ± 0.9061798459 ± 0.5384693101 0.0 | 0.2369268851 0.4786286705 0.5688888889 |
| 6 | ± 0.9324695142 ± 0.6612093865 ± 0.2386191861 | 0.1713244924 0.3607615730 0.4679139346 |

$$\{\hat{x}\} = \iiint_V [N]^T \{f\} dV + \iint_S [N]^T \{p\} dS \quad m^e = \rho \int_e N^T N dV$$

$$m^e = \frac{\rho A_e \ell_e}{6} \begin{bmatrix} 2 & 1 \\ 1 & 2 \end{bmatrix} \quad m^e = \frac{\rho A_e \ell_e}{6} \begin{bmatrix} 2 & 0 & 1 & 0 \\ 0 & 2 & 0 & 1 \\ 1 & 0 & 2 & 0 \\ 0 & 1 & 0 & 2 \end{bmatrix} \quad m^e = \frac{\rho A_e \ell_e}{420} \begin{bmatrix} 156 & 22\ell_e & 54 & -13\ell_e \\ 4\ell_e^2 & 13\ell_e & -3\ell_e^2 & \\ Symmetric & 156 & -22\ell_e & 4\ell_e^2 \end{bmatrix}$$

$$m^e = \frac{\rho A_e \ell_e}{2} \begin{bmatrix} 1 & 0 & 0 & 0 \\ 1 & 0 & 0 & 0 \\ 1 & 0 & 0 & 0 \\ Symmetric & 1 & 0 & 0 \end{bmatrix} \quad m^e = \frac{\rho A_e \ell_e}{2} \begin{bmatrix} 1 & 0 & 0 & 0 \\ 0 & 0 & 0 & 0 \\ 1 & 0 & 0 & 0 \\ Symmetric & 0 & 0 & 0 \end{bmatrix}$$

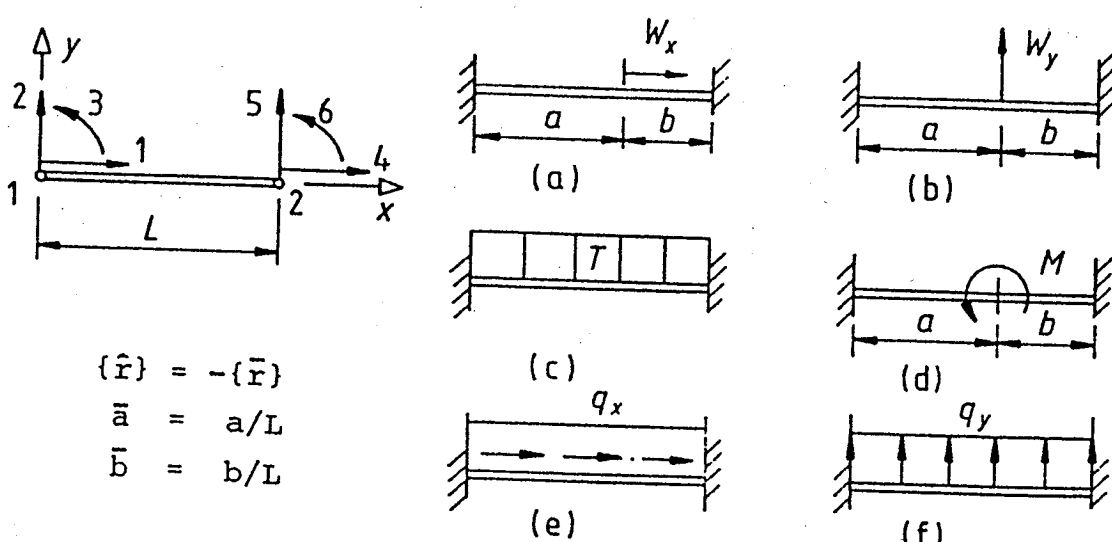
$$\det(K - \lambda M) = 0 \quad KU_i = \lambda_i MU_i$$

$$\begin{bmatrix} \frac{\partial u}{\partial \xi} \\ \frac{\partial u}{\partial \eta} \\ \frac{\partial u}{\partial \zeta} \end{bmatrix} = J \begin{bmatrix} \frac{\partial u}{\partial x} \\ \frac{\partial u}{\partial y} \\ \frac{\partial u}{\partial z} \end{bmatrix} \quad J = \begin{bmatrix} \frac{\partial x}{\partial \xi} & \frac{\partial y}{\partial \xi} & \frac{\partial z}{\partial \xi} \\ \frac{\partial x}{\partial \eta} & \frac{\partial y}{\partial \eta} & \frac{\partial z}{\partial \eta} \\ \frac{\partial x}{\partial \zeta} & \frac{\partial y}{\partial \zeta} & \frac{\partial z}{\partial \zeta} \end{bmatrix}$$

LUJUUSOPIN ELEMENTTI-MENETELMÄN KÄYTTÖ

Nide 1

83



| Kuorm. tapaus | Equivaleenttisen solmukuormituksen komponentit f_i | | | | | |
|------------------|--|------------------------------|-------------------------|---------------|------------------------------|--------------------------|
| | $i = 1$ | $i = 2$ | $i = 3$ | $i = 4$ | $i = 5$ | $i = 6$ |
| a | $W_x \bar{b}$ | 0 | 0 | $W_x \bar{a}$ | 0 | |
| b | 0 | $W_y (1+2\bar{a}) \bar{b}^2$ | $W_y \bar{a} \bar{b}^2$ | 0 | $W_y (1+2\bar{b}) \bar{a}^2$ | $-W_y \bar{b} \bar{a}^2$ |
| c | $-EA\alpha T$ | 0 | 0 | $EA\alpha T$ | 0 | 0 |
| d | 0 | $-M6ab/\bar{L}$ | $M(1-3\bar{a})\bar{b}$ | 0 | $M6ab/\bar{L}$ | $M(1-3\bar{b})\bar{a}$ |
| e | $q_x L/2$ | 0 | 0 | $q_x L/2$ | 0 | 0 |
| f | 0 | $q_y L/2$ | $q_y L^2/12$ | 0 | $q_y L/2$ | $-q_y L^2/12$ |

Kuva 1. Ekvivalenttisia solmukuormituksia.